




# Mayer-Vietoris 同调

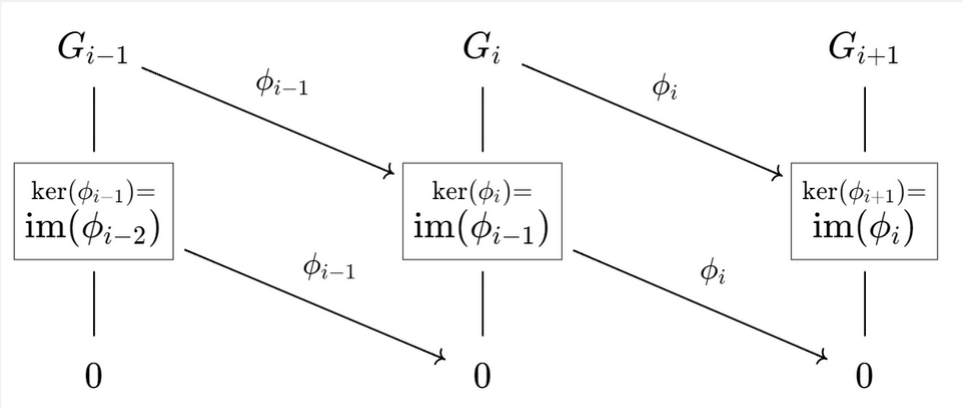
## Mayer-Vietoris 同调

### 同调代数拾遗

Definition 2.1.1 称 (Abel 群同态列)  $C \xrightarrow{f} D \xrightarrow{g} E$  在  $D$  处正合, 若且仅若  $\ker(g) = \operatorname{im}(f)$ .

 Remark 通常称一系列正合关系为正合列, i.e.,

$$\cdots \rightarrow G_{i-1} \xrightarrow{\phi_{i-1}} G_i \xrightarrow{\phi_i} G_{i+1} \rightarrow \cdots .$$



 [链接](#)

Theorem 2.1.2 对链复形与短正合列  $0 \rightarrow C \xrightarrow{f} D \xrightarrow{g} E \rightarrow 0$ , 考察交换图表

$$\begin{array}{ccccccc}
 & \bullet & & \bullet & & \bullet & \\
 & \downarrow \partial_{q+2} & & \downarrow \partial_{q+2} & & \downarrow \partial_{q+2} & \\
 0 & \longrightarrow & C_{q+1} & \xrightarrow{f_{q+1}} & D_{q+1} & \xrightarrow{g_{q+1}} & E_{q+1} \longrightarrow 0 \\
 & & \downarrow \partial_{q+1} & & \downarrow \partial_{q+1} & & \downarrow \partial_{q+1} \\
 0 & \longrightarrow & C_q & \xrightarrow{f_q} & D_q & \xrightarrow{g_q} & E_q \longrightarrow 0 \\
 & & \downarrow \partial_q & & \downarrow \partial_q & & \downarrow \partial_q \\
 0 & \longrightarrow & C_{q-1} & \xrightarrow{f_{q-1}} & D_{q-1} & \xrightarrow{g_{q-1}} & E_{q-1} \longrightarrow 0 \\
 & & \downarrow \partial_{q-1} & & \downarrow \partial_{q-1} & & \downarrow \partial_{q-1} \\
 & & \bullet & & \bullet & & \bullet
 \end{array}$$

[链接](#)

上图表中横行均正合, 对  $e_q \in Z_q(E)$  定义**边缘同态**

$$\partial_* : H_q(E) \rightarrow H_{q-1}(C), \quad [e_q] \mapsto [f_{q-1}^{-1} \partial_q g_q^{-1}(e_q)].$$

从而可良定义长正合列

$$\begin{array}{ccccccc}
 \cdots & \xrightarrow{\partial_*} & H_{q+1}(C) & \xrightarrow{f_*} & H_{q+1}(D) & \xrightarrow{g_*} & \boxed{H_{q+1}(E) \xrightarrow{\partial_*} H_q(C)} \xrightarrow{f_*} H_q(D) \xrightarrow{g_*} \\
 & & & & & & H_q(E) \xrightarrow{\partial_*} \cdots
 \end{array}$$

### ▼ Proof of the theorem

实际上, 只需证明以下正合横列给出同态  $\ker(\partial'_q) \xrightarrow{\delta} \operatorname{coker}(\partial'_q)$

$$\begin{array}{ccccccc}
 C_q & \xrightarrow{f_q} & D_q & \xrightarrow{g_q} & E_q & \longrightarrow & 0 \\
 \downarrow \partial'_q & & \downarrow \partial_q & & \downarrow \partial''_q & & \\
 0 \longrightarrow & C_{q-1} & \xrightarrow{f_{q-1}} & D_{q-1} & \xrightarrow{g_{q-1}} & E_{q-1} & 
 \end{array}$$

[链接](#)

补全纵列作短正合列, 得右图.

下依次证明:

**1** 蓝线 (连接框的路径) 给出

$$\delta := \overline{\partial'_q} f_{q-1}^{-1} \partial_q g_q^{-1} \partial'_q : \ker(\partial''_q) \rightarrow \operatorname{coker}(\partial'_q)$$

$$\begin{array}{ccccccc}
 0 & & 0 & & 0 & & \\
 \downarrow & & \downarrow & & \downarrow & & \\
 \ker(\partial'_q) & \xrightarrow{f_{q0}} & \ker(\partial_q) & \xrightarrow{g_{q0}} & \ker(\partial''_q) & & \\
 \downarrow \partial'_{q0} & & \downarrow \partial_{q0} & & \downarrow \partial''_{q0} & & \\
 C_q & \xrightarrow{f_q} & D_q & \xrightarrow{g_q} & E_q & \longrightarrow & 0 \\
 \downarrow \partial'_q & & \downarrow \partial_q & & \downarrow \partial''_q & & \\
 0 \longrightarrow & C_{q-1} & \xrightarrow{f_{q-1}} & D_{q-1} & \xrightarrow{g_{q-1}} & E_{q-1} & \\
 \downarrow \overline{\partial'_q} & & \downarrow \overline{\partial_q} & & \downarrow \overline{\partial''_q} & & \\
 \operatorname{coker}(\partial'_q) & \xrightarrow{\overline{f_q}} & \operatorname{coker}(\partial_q) & \xrightarrow{\overline{g_q}} & \operatorname{coker}(\partial''_q) & & \\
 \downarrow & & \downarrow & & \downarrow & & \\
 0 & & 0 & & 0 & & 
 \end{array}$$

[链接](#)

**2**  $\delta$  为良定义的同态.

**3**  $\operatorname{im}(g_{q0}) = \ker(\delta)$ .

**4**  $\ker(\overline{f_q}) = \operatorname{im}(\delta)$ .

**1** 证明  $\delta$  为映射 (即无法一对多):

1.  $\forall e \in \ker(\partial''_q)$ , 由于  $g_q$  为满射, 固存在  $d \in D_q$  使得  $g_q(d) = \partial''_{q0}(e)$ .
2. 注意到  $\partial''_q \circ \partial''_{q0} \equiv 0$ , 从而  $\partial''_q g_q(d) = g_{q-1} \partial''_q(d) = 0$ .
3. 根据短正合列,  $\partial_q(d) \in \ker(g_{q-1}) = \text{im}(f_{q-1})$ , 因此存在  $c' \in C_{q-1}$  使得  $f_{q-1}(c') = \partial_q(d)$ . 此处  $f_{q-1}$  为单的,  $c'$  的选取仅取决于  $d$ .
4. 对任意  $d_1$  与  $d_2$  使得  $g_q(d_1) = g_q(d_2) = \partial''_{q0}(e)$ ,  $(d_1 - d_2) \in \ker(g_q) = \text{im}(f_q)$ . 取  $c \in C_q$  使得  $f_q(c) = d_1 - d_2$ .
5. 当  $d_1$  变为  $d_2$  时,  $c'_1$  变为  $c'_2$ , 其间相差  $\partial'_q(c) \in \ker(\overline{\partial'_q})$ , 从而  $\overline{\partial'_q}(c'_1) = \overline{\partial'_q}(c'_2)$ . 可见  $\delta$  为良定义的映射.

**2**  $\delta$  显然为良定义的同态, 就 **1** 中各步骤逐一验证即可.

**3** 分两步证明  $\text{im}(g_{q0}) = \ker(\delta)$ :

1. 任取  $d \in \ker(\partial_q)$ , 则  $g_{q0}(d) \in \ker(\partial''_q)$ , 从而依照交换图有 (六步变四步)

$$\delta(g_{q0}(d)) = \overline{\partial'_q} f_{q-1}^{-1} \partial_q g_q^{-1} \partial''_{q0} g_{q0}(d) = \overline{\partial'_q} f_{q-1}^{-1} \partial_q \partial_{q0}(d) = 0.$$

因此得  $\text{im}(g_{q0}) \subset \ker(\delta)$ .

2. 另一方面, 沿用 **1** 中符号. 任取  $\forall e \in \ker(\delta)$ , 则  $c' \in \ker(\overline{\partial'_q}) = \text{im}(\partial'_q)$ . 取  $c$  使得  $\partial'_q(c) = c'$ , 从而  $f_{q-1}(c') = \partial_q f_q(c)$ , 即  $d - f_q(c) \in \ker(\partial_q) = \text{im}(\partial_{q0})$ . 故存在  $d' \in \ker(\partial_q)$  使得  $\partial_{q0}(d') = d - f_q(c)$ . 因此

$$\partial''_{q0} g_{q0}(d') = g_q \partial_{q0}(d') = g_q(d) = \partial''_{q0}(e).$$

由于  $\partial''_{q0}$  为单的, 故  $\text{im}(g_{q0}) \supset \ker(\delta)$ .

得证.

**4** 类比 **3**.

至此, 我们证明了 **Theorem 2.1.2** (或称  引理).



**Remark** 短正合列  $0 \rightarrow C \xrightarrow{f} D \xrightarrow{g} E \rightarrow 0$  导出长正合同调列

$$\begin{array}{ccccccc} \dots & \xrightarrow{\partial_*} & H_{q+1}(C) & \xrightarrow{f_*} & H_{q+1}(D) & \xrightarrow{g_*} & \boxed{H_{q+1}(E) \xrightarrow{\partial_*} H_q(C)} & \xrightarrow{f_*} \\ & & & & & & & \\ & & & & H_q(D) & \xrightarrow{g_*} & H_q(E) & \xrightarrow{\partial_*} \dots \end{array}$$

**Theorem 2.1.3** 同调序列具有自然性质表现如下. 若存在如下交换图

$$\begin{array}{ccccccc}
 0 & \longrightarrow & C & \xrightarrow{f} & D & \xrightarrow{g} & E \longrightarrow 0 \\
 & & \downarrow \alpha & & \downarrow \beta & & \downarrow \gamma \\
 0 & \longrightarrow & C' & \xrightarrow{f'} & D' & \xrightarrow{g'} & E' \longrightarrow 0
 \end{array}$$

[链接](#)

其中横行为短正合列, 则存在长正合同调列间的交换图, 如下图所示

$$\begin{array}{ccccccccc}
 \bullet & \longrightarrow & C_q & \xrightarrow{f_*} & D_q & \xrightarrow{g_*} & E_q & \xrightarrow{\partial_*} & C_{q-1} \longrightarrow \bullet \\
 & & \downarrow \alpha_* & & \downarrow \beta_* & & \downarrow \gamma_* & & \downarrow \alpha_* \\
 \bullet & \longrightarrow & C'_q & \xrightarrow{f'_*} & D'_q & \xrightarrow{g'_*} & E'_q & \xrightarrow{\partial'_*} & C'_{q-1} \longrightarrow \bullet
 \end{array}$$

[链接](#)

### ▼ Proof of the theorem

证明之主要矛盾系验证  $\alpha_* \partial_* = \partial'_* \gamma_*$ . 将边缘同态写作 **Theorem 2.1.3** 中形式即可.

**Theorem 2.1.4 (五引理)** 选取同调列间的交换图局部如下

$$\begin{array}{ccccccccc}
 A_1 & \xrightarrow{f_1} & A_2 & \xrightarrow{f_2} & A_3 & \xrightarrow{f_3} & A_4 & \xrightarrow{f_4} & A_5 \\
 \downarrow t_1 & & \downarrow t_2 & & \downarrow t_3 & & \downarrow t_4 & & \downarrow t_5 \\
 B_1 & \xrightarrow{g_1} & B_2 & \xrightarrow{g_2} & B_3 & \xrightarrow{g_3} & B_4 & \xrightarrow{g_4} & B_5
 \end{array}$$

[链接](#)

- 若  $t_4$  与  $t_2$  均为满射,  $t_5$  为单射, 则  $t_3$  为满射.
- 若  $t_4$  与  $t_2$  均为单射,  $t_1$  为满射, 则  $t_3$  为单射.
- 若  $t_2, t_4$  均为同构,  $t_5$  为单射,  $t_1$  为满射, 则  $t_3$  为同构.

### ▼ Proof of the theorem

- 若  $t_4$  与  $t_2$  均为满射,  $t_5$  为单射. 任取  $b_3 \in B_3$ , 则存在  $a_4 \in A_4$  使得  $t_4(a_4) = g_3(b_3)$ . 由于

$$0 = g_4 g_3(b_3) = g_4 t_4(a_4) = t_5 f_4(a_4),$$

加之  $t_5$  为单射,  $f_4(a_4) = 0$ . 因此存在  $a_3 \in A_3$  使得  $f_3(a_3) = a_4$ . 再注意到

$$\begin{aligned} g_3(t_3(a_3) - b_3) &= g_3 t_3(a_3) - g_3 b_3 \\ &= t_4 f_3(a_3) - t_4 a_4 \\ &= t_4(a_4) - t_4(a_4) \\ &= 0. \end{aligned}$$

从而存在  $b_2 \in B_2$  使得  $g_2(b_2) = t_3(a_3) - b_3$ . 由于  $f_2$  为满射, 故存在  $a_2$  使得  $t_2(a_2) = b_2$ .

可发现  $b_3$  的某一原像大致与  $f_2(a_2)$  以及  $a_3$  有关. 计算得

$$\begin{aligned} t_3 f_2(a_2) &= g_2 t_2(a_2) \\ &= g_2(b_2) \\ &= t_3(a_3) - b_3. \end{aligned}$$

因此  $b_3$  的某一原像为  $a_3 - f_2(a_2)$ , 从而  $t_3$  为满射.

- 若  $t_4$  与  $t_2$  均为单射,  $t_1$  为满射. 任取  $a_3 \in A_3$  使得  $t_3(a_3) = 0$ , 下验证  $a_3$  只能为 0. 根据交换图以及  $t_4$  为单的,

$$0 = g_3 t_3(a_3) = t_4 f_3(a_3) = f_3(a_3).$$

从而存在  $a_2 \in A_2$  使得  $f_2(a_2) = a_3$ . 注意到

$$g_2 t_2(a_2) = t_3 f_2(a_2) = t_3(a_3) = 0,$$

则存在  $b_1 \in B_1$  使得  $g_1(b_1) = t_2(a_2)$ . 由于  $t_1$  为满射, 取  $a_1 \in A_1$  使得  $t_1(a_1) = b_1$ . 再注意到

$$t_2(a_2) = g_1(b_1) = g_1 t_1(a_1) = t_2 f_1(a_1).$$

从而  $f_1(a_1) = a_2$ . 故  $a_3 = f_2 f_1(a_1) = 0$ .

- 最后一则是显然的.

## Mayer-Vietoris 同调序列

**Definition 2.2.1** 称  $\mathcal{U}$  为  $X$  的一个覆盖, 若且仅若  $\cup_{U \in \mathcal{U}} U = X$ . 称奇异单形  $\sigma : \Delta_q \rightarrow X$  为  $\mathcal{U}$ -小的若且仅若  $\sigma(\Delta_q)$  包含于某一  $U \in \mathcal{U}$  中.

**Theorem 2.2.2** 记  $S_*^{\mathcal{U}}(X)$  为  $\mathcal{U}$ -小奇异单形生成的链复形. 则嵌入映射  $i : S_*^{\mathcal{U}}(X) \rightarrow S_*(X)$  为链映射, 且有以下同构

$$i_* : H_*(\widetilde{S}_*^{\mathcal{U}}(X)) \cong H_*(\tilde{S}_*(X)).$$

### ▼ Proof of the theorem

未完待续



**Remark** 定理说明: 在研究同调群时, 小的单形比大的更重要.

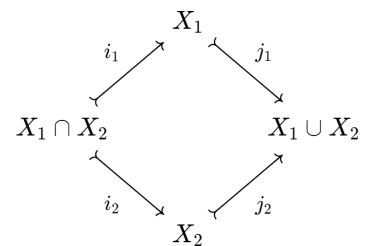
**Definition 2.2.3** 取拓扑空间的  $X$  的覆盖  $X_1$  和  $X_2$  使得  $X_1 \cup X_2 = X$ . 以  $\mathcal{U}$  记  $X$  的覆盖  $\{X_1, X_2\}$ , 且  $\mathcal{U}$ -小奇异单形生成的子链复形

$$S_*^{\mathcal{U}}(X) = S_*(X_1) + S_*(X_2).$$

右侧交换图中, 记  $\Sigma_{X_i}$  为  $X_i$  中单形之集合, 则

- $\Sigma_{X_1 \cap X_2} = \Sigma_{X_1} \cap \Sigma_{X_2}$ ,
- $\Sigma_{(X_1 \cup X_2)^{\mathcal{U}}} = \Sigma_{X_1} \cup \Sigma_{X_2}$ .

从而有以下短正合列



[链接](#)

$$0 \rightarrow S_*(X_1 \cap X_2) \xrightarrow{h_{\#}} S_*(X_1) \oplus S_*(X_2) \xrightarrow{k_{\#}} S_*(X_1) + S_*(X_2) \rightarrow 0.$$

其中  $h_{\#}$  与  $k_{\#}$  的取法可以是

$$h_{\#}(x) := i_{1\#}(x) - i_{2\#}(x), \quad k_{\#}(y, z) := j_{1\#}(y) + j_{2\#}(z).$$

抑或

$$h_{\#}(x) := i_{1\#}(x) + i_{2\#}(x), \quad k_{\#}(y, z) := j_{1\#}(y) - j_{2\#}(z).$$

**Fact 2.2.4** 根据 **Theorem 2.1.2**, 短正合列

$$0 \rightarrow S_*(X_1 \cap X_2) \xrightarrow{h_{\#}} S_*(X_1) \oplus S_*(X_2) \xrightarrow{k_{\#}} S_*(X_1) + S_*(X_2) \rightarrow 0$$

给出了长正合同调链

$$\begin{array}{c} \cdots \rightarrow H_q(X_1 \cap X_2) \xrightarrow{\text{差/和}} H_q(X_1) \oplus H_q(X_2) \xrightarrow{\text{和/差}} \\ \boxed{[H_q(X_1) + H_q(X_2)] \xrightarrow{\partial_*} H_{q-1}(X_1 \cap X_2)} \xrightarrow{\text{差/和}} H_{q-1}(X_1) \oplus \\ H_{q-1}(X_2) \rightarrow \cdots \end{array}$$

此处的 差 与 和 取决于 **Definition 2.2.3** 中  $h_{\#}$  与  $k_{\#}$  的取法.

**Definition 2.2.5** 若嵌入映射  $i : S_*(X_1) + S_*(X_2) \rightarrow S_*(X_1 \cup X_2)$  诱导的同调群同态为同构, i.e.,

$$H_*(S_*(X_1) + S_*(X_2)) \rightarrow H_*(X_1 \cup X_2),$$

则称  $\{X_1, X_2\}$  构成 **Mayer-Vietoris 耦**.



**Remark** 若  $X_1$  与  $X_2$  之内部覆盖  $X$ , 则

$$i : S_*(X_1) + S_*(X_2) \rightarrow S_*(X_1 \cup X_2)$$

为同伦等价. 因此  $\{X_1, X_2\}$  构成 Mayer-Vietoris 耦.

**Theorem 2.2.6** 若  $\{X_1, X_2\}$  构成 Mayer-Vietoris 耦, 则有如下正合同调序列 (运用同构关系  $H_*(S_*(X_1) + S_*(X_2)) \rightarrow H_*(X_1 \cup X_2)$ )



$$\begin{array}{c} \cdots \rightarrow H_q(\cap) \xrightarrow{\text{差/和}} H_q(X_1) \oplus H_q(X_2) \xrightarrow{\text{和/差}} \\ \boxed{H_q(\cup) \xrightarrow{\textcolor{red}{\partial_*}} H_{q-1}(\cap)} \xrightarrow{\text{差/和}} \cdots \end{array}$$

**Fact 2.2.7** 上述 Mayer-Vietoris 正合列对增广链复形同理, 此处不赘述.

**Theorem 2.2.8** 结合 **Theorem 2.2.6** 与 **Theorem 2.1.3**, 若  $\{X_1, X_2\}$  与  $\{Y_1, Y_2\}$  分别为  $X$  与  $Y$  中的 Mayer-Vietoris 耦, 映射  $f : X \rightarrow Y$  满足  $f(X_i) \subset Y_i$  ( $i = 1, 2$ ), 则以下图可交换

$$\begin{array}{ccccccc} \bullet & \longrightarrow & H_q(X_1 \cap X_2) & \xrightarrow{\text{差/和}} & H_q(X_1) \oplus H_q(X_2) & \xrightarrow{\text{和/差}} & H_q(X_1 \cup X_2) \xrightarrow{\partial_*} H_{q-1}(X_1 \cap X_2) \longrightarrow \bullet \\ & & \downarrow f_* & & \downarrow f_* & & \downarrow f_* \\ \bullet & \longrightarrow & H_q(Y_1 \cap Y_2) & \xrightarrow{\text{差/和}} & H_q(Y_1) \oplus H_q(Y_2) & \xrightarrow{\text{和/差}} & H_q(Y_1 \cup Y_2) \xrightarrow{\partial_*} H_{q-1}(Y_1 \cap Y_2) \longrightarrow \bullet \end{array}$$

[!\[\]\(d66ff64371a51729ac8c1cdaa685ba6f\_img.jpg\) 链接](#)

**Example 2.2.9** 计算球面  $S^n$  的简约同调群  $\tilde{H}_*(S^n)$ .

## ▼ Solution

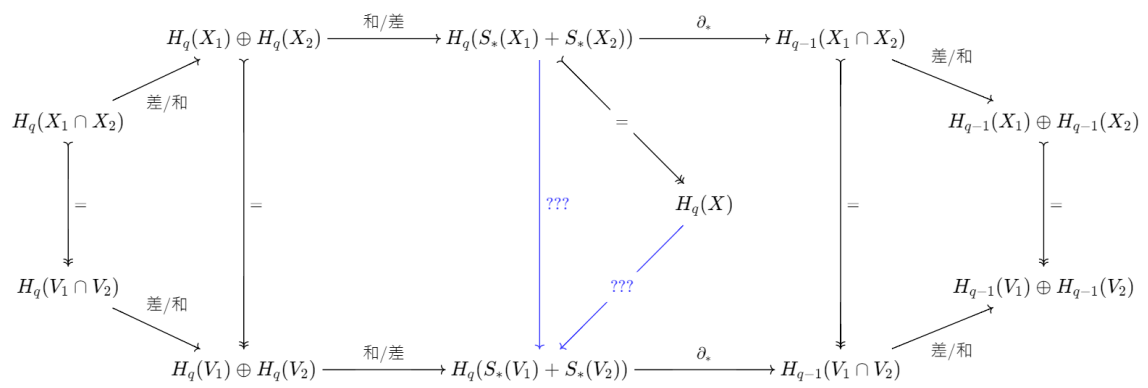
以下将证明南北半球为 Mayer-Vietoris 耦, 继而用数学归纳法求解.

若拓扑空间  $X$  为两个闭子集  $X_1$  与  $X_2$  的并, 交集  $X_1 \cap X_2$  为某一开邻域  $V$  的形变收缩核, 下断言  $\{X_1, X_2\}$  为 Mayer-Vietoris 耦.

记  $V_i := V \cup X_i$  为  $X_i$  的开邻域, 其中  $i = 1, 2$ . 根据 **Definition 2.2.5** 之 **Remark**,  $\{V_1, V_2\}$  为 Mayer-Vietoris 耦. 只需证明

$$H_*(S_*(V_1) + S_*(V_2)) \rightarrow H_*(S_*(X_1) + S_*(X_2))$$

为同构. 端详下图



[链接](#)

根据 **Theorem 2.1.4 (五引理)**, 蓝色箭头 (标问号 ? 处) 均为同构.

零维球面  $S^0 \cong \{p_1, p_2\}$ , 从而简约同调群

- $\tilde{H}_q(S^0) = 0$ , 若  $q \geq 1$ ,
- $\tilde{H}_0(S^0) = \mathbb{Z}$  (根据 **Example 1.3.19**).

既证明  $n \geq 1$  时, 南北半球  $\{S_+^q, S_-^q\}$  系  $S^q$  之 Mayer-Vietoris 耦, 根据 **Definition 1.3.18** 知可缩空间之简约同调群同构于单点之简约同调群, 即零同调. 观察 Mayer-Vietoris 正合同调列,

$$\tilde{H}_q(S_*(S_+^q) + S_*(S_-^q)) \xrightarrow{\partial_*} \boxed{\tilde{H}_{q-1}(S_+^q \cap S_-^q) = \tilde{H}_{q-1}(S^{q-1})}$$

只能为同构. 从而

- $\tilde{H}_q(S^{q'}) = \tilde{H}_{q-1}(S^{q'-1}) = \dots = \tilde{H}_{q-q'}(S^0) = 0$ , 若  $q > q'$ .
- $\tilde{H}_q(S^{q'}) = \tilde{H}_{q-1}(S^{q'-1}) = \dots = \tilde{H}_0(S^0) = \mathbb{Z}$ , 若  $q = q'$ .
- $\tilde{H}_q(S^{q'}) = \tilde{H}_{q-1}(S^{q'-1}) = \dots = \tilde{H}_0(S^{q'-q}) = 0$ , 若  $q < q'$ .

综上,  $\tilde{H}_q(S^{q'}) = \delta_{qq'} \mathbb{Z}$ .

**Example 2.2.10** 记  $X$  为 Euclid 空间  $E^n$  中的凸闭集,  $f : X \rightarrow X$  为连续映射, 则  $f$  有不动点.

▼ **Solution**

若不然, 则存在  $f$  使得  $f(x) \neq x$  对一切  $x \in X$  成立. 作以  $f(x)$  为端点射向  $x$  的射线, 记  $g(x)$  为射线与  $\partial X$  之交点. 根据凸集之定义,  $g$  为  $X$  上良定义的映射. 显然  $g$  为连续映射.

不失一般性地记  $X = D^n$ , 即  $E^n$  中单位球. 由于  $g|_{S^n} : S^n \rightarrow S^n$  为同构, 故  $g : D^n \rightarrow S^n$  为连续满射. 这与  $\tilde{H}_n(D^n) = 0 \neq \mathbb{Z} = \tilde{H}_n(S^n)$  矛盾!

**Definition 2.2.11** 映射  $f : S^n \rightarrow S^n$  诱导的同态

$$f_{\#} : \tilde{H}_n(S^n) \rightarrow \tilde{H}_*(S^n), [1] \mapsto [d].$$

称  $d$  为映射度, 记作  $\deg f = d$ .



**Remark** Hopf 证明了球面到自身映射下的同伦分类定理, 即对映射  $f, g : S^n \rightarrow S^n$ , 以下两则等价:

1.  $\deg f = \deg g$ .
2.  $f \simeq g : S^n \rightarrow S^n$ .

球面的映射度满足以下简单性质:

1.  $\deg \text{id} = 1$ ,
2.  $\deg(f \circ g) = \deg f \cdot \deg g$ ,
3.  $\deg \text{constant} = 0$ .

**Example 2.2.12**  $n$  维球面的镜面反射

$$r_n : S^n \rightarrow S^n, (x_0, \dots, x_n) \mapsto (-x_0, \dots, x_n)$$

满足  $\deg r_n = -1$ .

▼ Proof

注意到交换图

$$\begin{array}{ccccccc} 0 & \longrightarrow & H_q(S^q) & \xrightarrow{\partial_*(\cong)} & H_{q-1}(S^{q-1}) & \longrightarrow & 0 \\ & & \downarrow r_{q*} & & \downarrow r_{q-1*} & & \\ 0 & \longrightarrow & H_q(S^q) & \xrightarrow{\partial_*(\cong)} & H_q(S^{q-1}) & \longrightarrow & 0 \end{array}$$

[链接](#)

从而  $\deg(r_{q*}) = \deg(r_{q-1*}) = \cdots \deg(r_0) = -1$ .



**Corollary** 作为推论, 对径映射

$$S^n \rightarrow S^n, (x_0, \dots, x_n) \mapsto (-x_0, \dots, -x_n)$$

的映射度为  $(-1)^{n+1}$ .

**Example 2.2.13** 若  $n$  维球面  $S^n$  的子集  $A$  同胚于  $I^k := \prod_{i=1}^k [0, 1]$ , 则  $\tilde{H}_*(S^n \setminus A) = 0$ .

## ▼ Proof

若  $k = 0$ , 则  $A$  为单点, 显然成立.

若  $k < m$  时引理成立, 则  $k = m$  时, 取闭链  $[z] \in \tilde{H}_*(S^n \setminus A)$ . 下证明  $[z] = 0$ . 若反之, 存在  $z$  使得  $[z] \neq 0$ . 取划分  $\pi$  使得  $S^n = S_+^n \cup S_-^n$  使得  $S_+^n \cap S_-^n = S^{n-1}$ , 同时  $A = A_+ \cup A_-$ ,  $A_+ \cap A_-$  同胚于  $I^{m-1}$ . 根据 Theorem 2.2.6, 有正合列

$$0 \rightarrow \tilde{H}_q(S^n \setminus A) \rightarrow \tilde{H}_q(S^n \setminus A_+) \oplus \tilde{H}_q(S^n \setminus A_-) \rightarrow 0.$$

由  $[z] \neq 0$  可知  $i_{+*}([z]) \neq i_{-*}([z])$ . 不妨设  $i_{1*}([z]) \neq 0$ , 取  $A^{(1)} := A_+$ . 同理构造  $\{A^{(m)}\}$  使得每一  $A^{(m)}$  均同胚于  $I^m$ , 且满足

1.  $A \supset A^{(1)} \supset A^{(2)} \supset \dots$ ,
2.  $\cap_m A^{(m)} = p$  为单点,
3. 映射

$$i_*^{(m)} : (S^n \setminus A) \rightarrow (S^n \setminus A^{(m)}), [z] \mapsto [z].$$

由于  $\tilde{H}_*(S^n \setminus p) = 0$ , 从而  $(S^n \setminus A)$  中的闭链  $z$  为  $(S^n \setminus p) \cong E^n$  中的边缘链. 设  $\partial c = z$ , 其中  $c \in S^n \setminus p$ , 即  $c$  为  $S^n \setminus p$  中有限个奇异单形之线性组合. 注意到存在  $m_0 \in \mathbb{N}$  使得这些有限个奇异单形落在  $S^n \setminus A^{(m_0)}$  中, 与  $0 \neq [z] \in H_*(S^n \setminus A^{(m_0)})$  矛盾.

**Example 2.2.14** 若  $n$  维球面  $S^n$  的子集  $A$  同胚于  $S^k$ , 则  $\tilde{H}_q(S^n \setminus A) = 0$  若  $q \neq n - k - 1$ ,  $\tilde{H}_{n-k-1}(S^n \setminus A) = \mathbb{Z}$ .

## ▼ Proof

$k = 0$  时,  $(S^n \setminus A) \cong E^n$ , 故结论成立.

将  $A$  分作南北半球, i.e.,  $A_+ \cup A_-$ . 显然  $\{S^n \setminus A_+, S^n \setminus A_-\}$  构成  $S^n \setminus (A_+ \cap A_-)$  的 Mayer-Vietoris 耦. 根据 Example 2.2.13 知有以下正合同调链

$$0 \rightarrow \tilde{H}_{q+1}(S^n \setminus (A_+ \cap A_-)) \xrightarrow{\partial_*} \tilde{H}_q(S^n \setminus A) \rightarrow 0.$$

因此  $\tilde{H}_{q+1}(S^n \setminus A') \cong \tilde{H}_q(S^n \setminus A)$ , 其中  $A \cong S^k$ ,  $A' \cong S^{k-1}$ .



**Corollary Example 2.2.14** 给出了以下简单推论:

1.  $S^{n+1}$  中同胚于  $S^n$  的子集将  $S^{n+1}$  分作两个单连通的开集,  $S^n$  为公共边界.

┃ 特别地,  $n = 1$  时为 Jordan 曲线定理.

2.  $S^n$  不可能嵌入  $E^n$ .
3. 不同维度的流形一定不同胚.

┃ 流形即各点存在邻域同胚于  $E^n$  之邻域的拓扑.